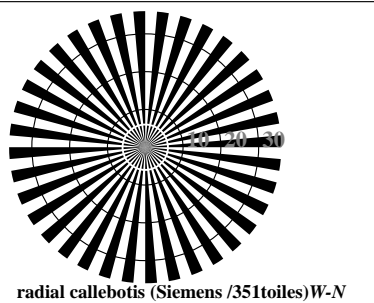
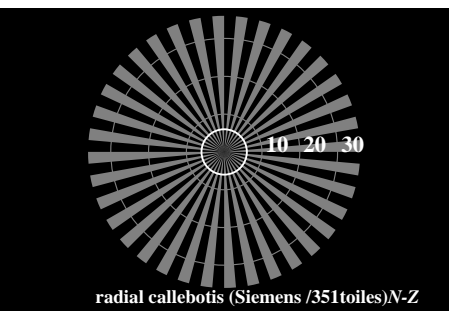


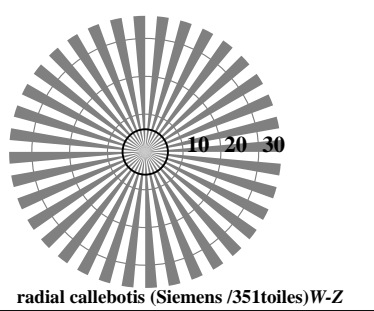
radial callebotis (Siemens /351toiles)N-W



radial callebotis (Siemens /351toiles)W-N

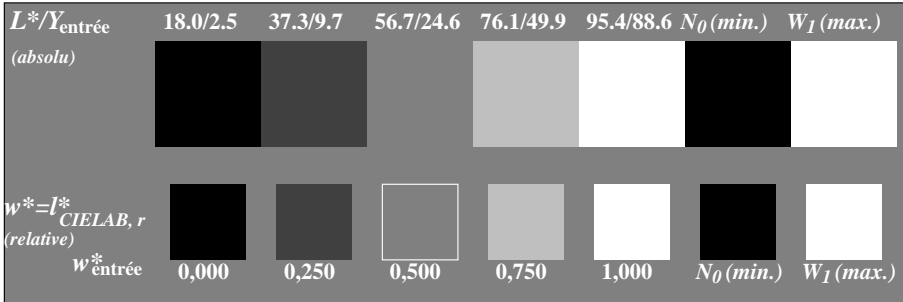


radial callebotis (Siemens /351toiles)N-Z

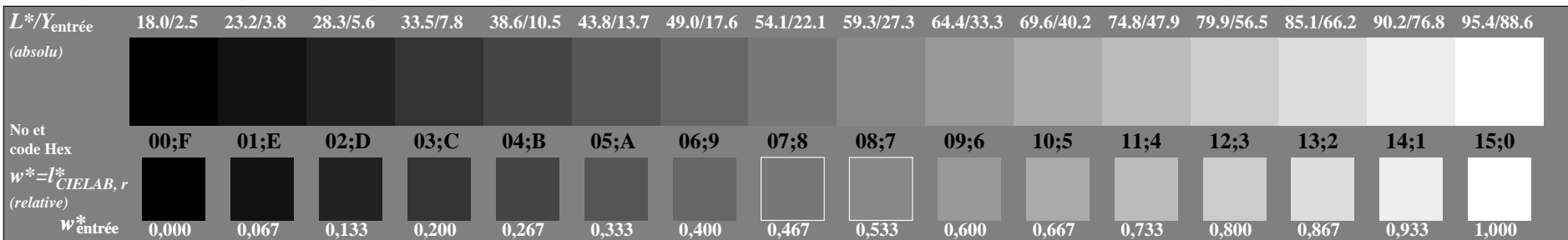


radial callebotis (Siemens /351toiles)W-Z

RF980-3, Fig. A1W-: Élément A: radial callebotis N-W, W-N, N-Z et W-Z; PS operator: $w^* setgray$

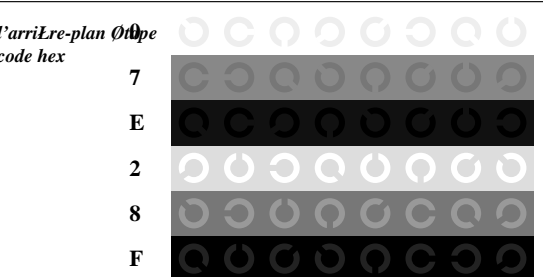


RF980-5, Fig. A2W-: Élément B: 5 équidistants L^* gris étapes + $N_0 + W_I$; PS operator: $w^* setgray$



RF980-7, Fig. A3W-: Élément C: 16 équidistants L^* gris étapes; PS operator: $w^* setgray$

graphique RF98; ME16(ISO 9241-306), 3(ISO/IEC 15775)
 achromatic graphique de test N

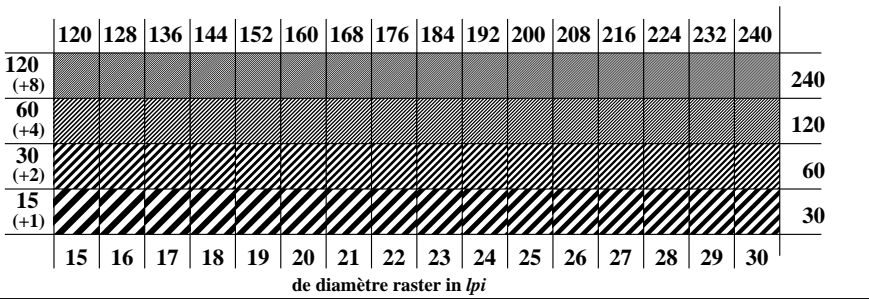
l'arriÈre-plan Øtape
code hex

1	l'anneau Øtape 0-1	code hex
8	7-8	
E	E-F	
2	2-0	
8	8-6	
F	F-D	

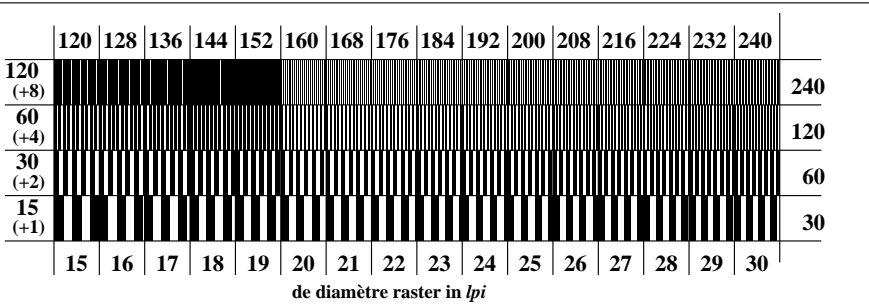
anneaux Landolt W-N

code: l'arriÈre-plan-l'anneau Øtape

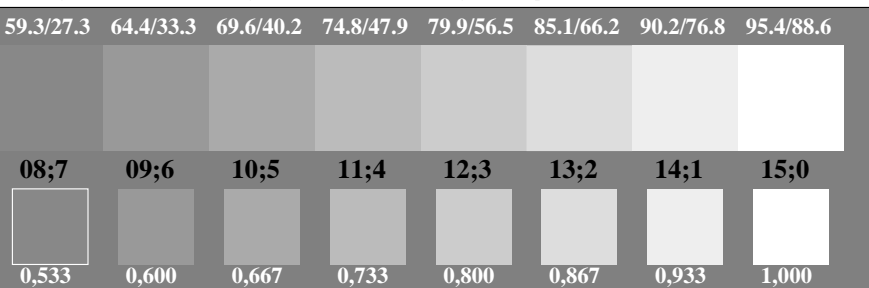
RF981-1, Fig. A4W-: Élément D: anneaux Landolt W-N; PS operator: $w^* setgray$



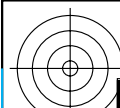
RF981-3, Fig. A5W-: Élément E: Linge raster sous 45° (ou 135°) degré; PS operator: $w^* setgray$



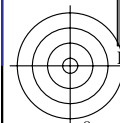
RF981-5, Fig. A6W-: Élément F: Linge raster sous 90° (ou 0°) degré; PS operator: $w^* setgray$



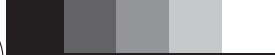
entrée : $rgb/cmyk \rightarrow rgb/cmyk$
 sortie : aucun changement



voir fichiers similaires: http://130.149.60.45/~farbmefrik/RF98/RF98.HTM
 informations techniques: http://www.psbam.de ou http://130.149.60.45/~farbmefrik



v http://130.149.60.45/~farbmefrik/RF98/RF98L0NP.PDF /PS; sortie de transfert
 N: aucune linearisation 3D (OL) dans fichier (F) ou PS-startup (S), page 2/2
 voir fichiers similaires: http://130.149.60.45/~farbmefrik/RF98/RF98.HTML
 informations techniques: http://www.psbam.de ou http://130.149.60.45/~farbmefrik



v

L

o

Y

M

C

c

M

Y

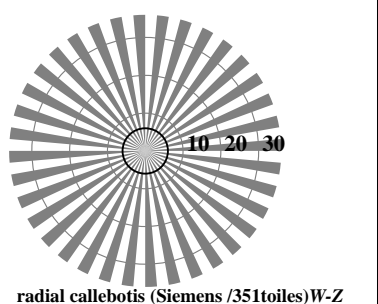
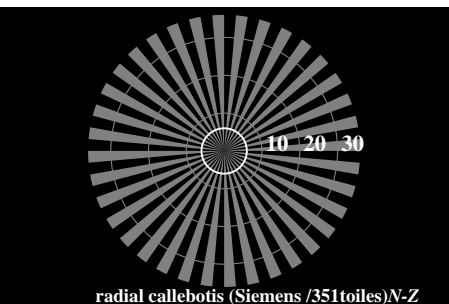
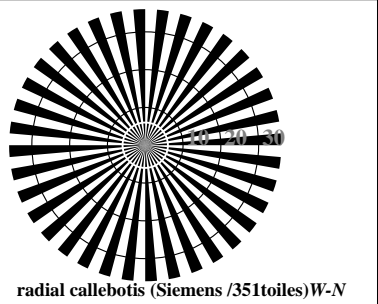
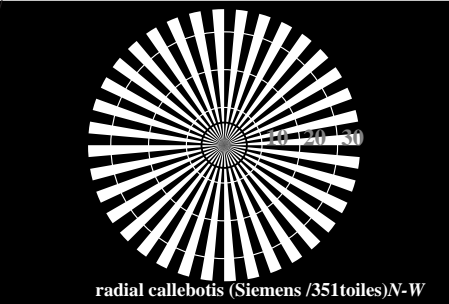
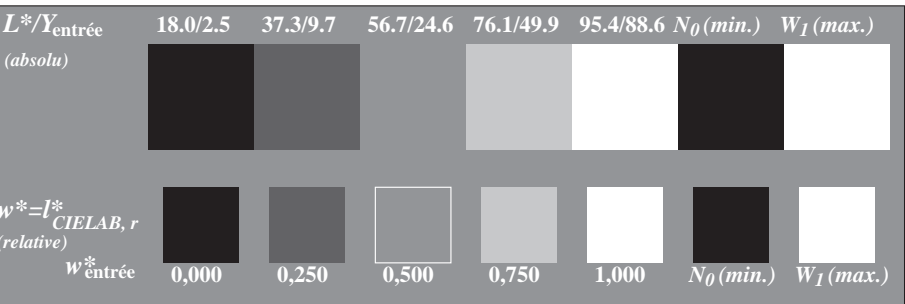
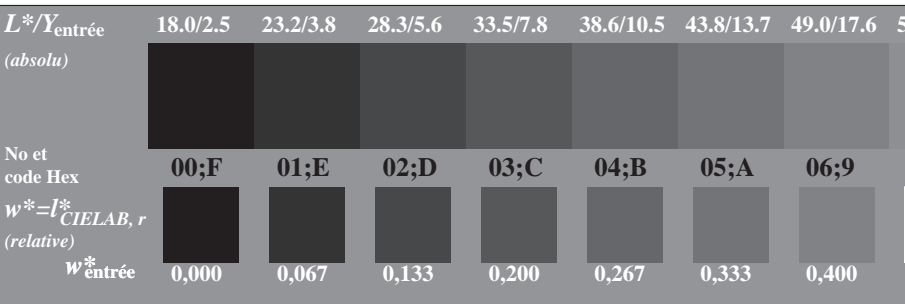
Y

O

L

V

V

RF980-3, Fig. A1Wd: Élément A: radial callebotis N-W, W-N, N-Z et W-Z; PS operator: $w^* setgray$ RF980-5, Fig. A2Wd: Élément B: 5 équidistants L^* gris étapes + N_θ + W_I ; PS operator: $w^* setgray$ RF980-7, Fig. A3Wd: Élément C: 16 équidistants L^* gris étapes; PS operator: $w^* setgray$

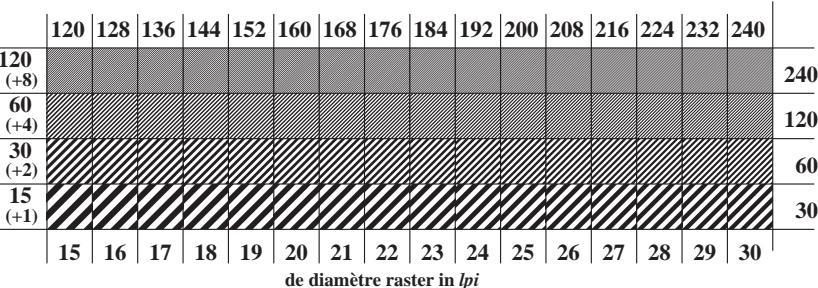
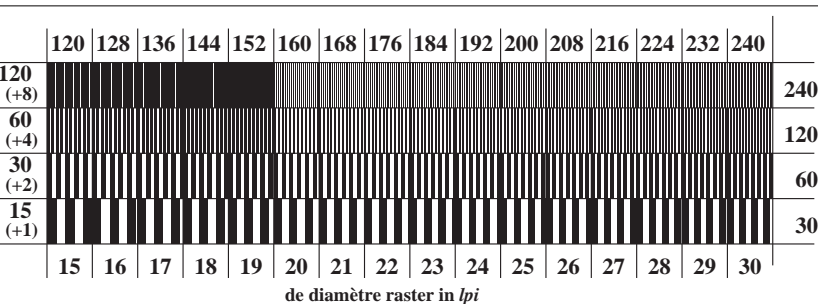
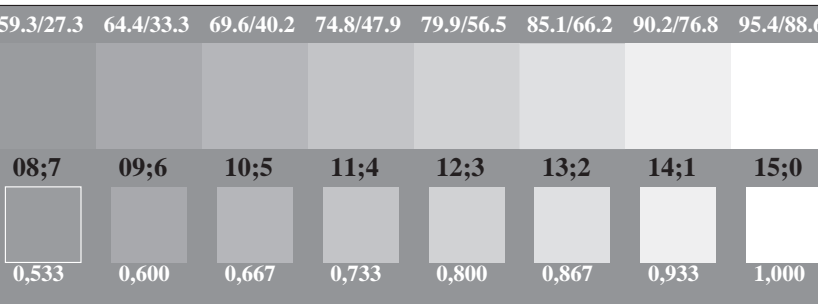
graphique RF98; ME16(ISO 9241-306), 3(ISO/IEC 15775)
 achromatic graphique de test N, 3D=0, de=0, cmyk

l'arriÈre-plan Øtape
code hex

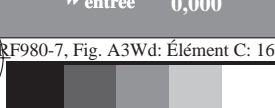
7	0 0 0 0 0 0 0 0
E	0 0 0 0 0 0 0 0
2	0 0 0 0 0 0 0 0
8	0 0 0 0 0 0 0 0
F	0 0 0 0 0 0 0 0

1	l'anneau Øtapes 0-1 code hex
8	7-8
F	E-F
0	2-0
6	8-6
D	F-D

code: l'arriÈre-plan-l'anneau Øtapes

RF981-1, Fig. A4Wd: Élément D: anneaux Landolt W-N; PS operator: $w^* setgray$ RF981-3, Fig. A5Wd: Élément E: Linge raster sous 45° (ou 135°) degré; PS operator: $w^* setgray$ RF981-5, Fig. A6Wd: Élément F: Linge raster sous 90° (ou 0°) degré; PS operator: $w^* setgray$ 

entrée : $rgb/cmyk \rightarrow rgbd$
 sortie : transférer à $cmykd$



C

M

Y

O

L

V

V

C

M

Y

Y

O

L

V

V

C

M

Y

Y

O

L

V

V

C

M

Y

Y

O

L

V

V

C

M

Y

Y

O

L

V

V

C

M

Y

Y

O

L

V

V

C

M

Y

Y

O

L

V

v http://130.149.60.45/~farbmefrik/RF98/RF98L0NP.PDF /PS; sortie de production
N: aucune linearisation 3D (OL) dans fichier (F) ou PS-startup (S), page 1/2
voir fichiers similaires: http://130.149.60.45/~farbmefrik/RF98/RF98.HTM
informations techniques: http://www.psbam.de ou http://130.149.60.45/~farbmefrik



v

L

o

Y

M

C

c

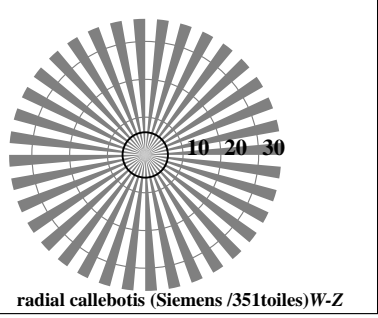
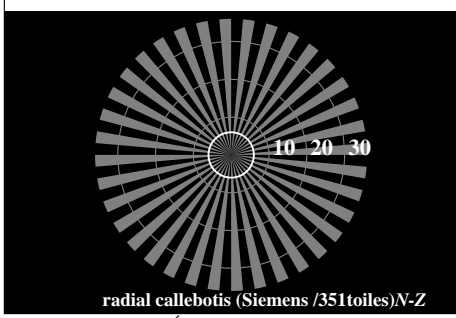
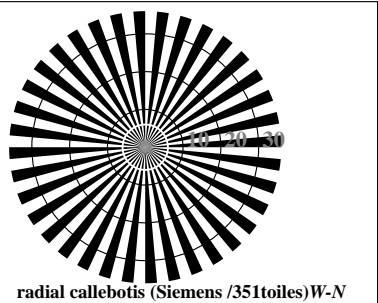
M

Y

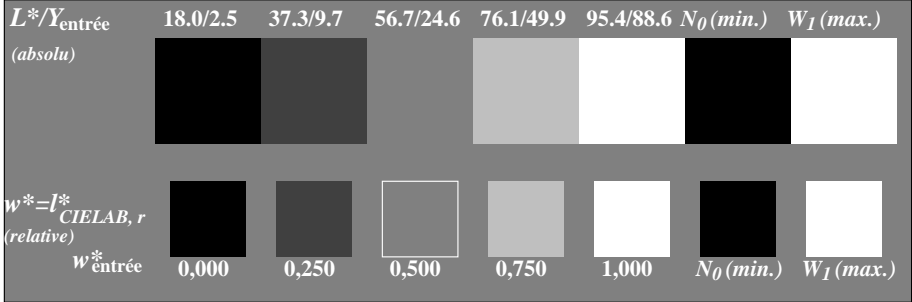
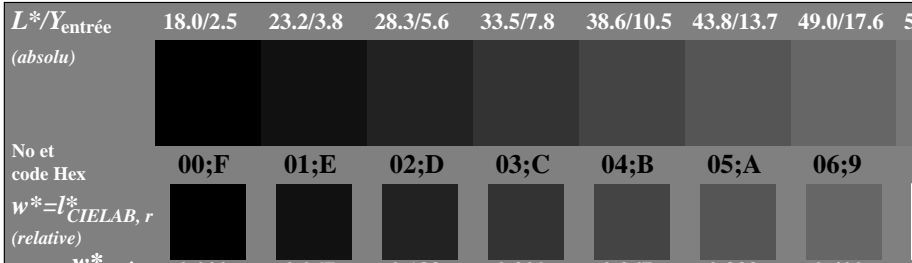
O

L

V



RF980-3, Fig. A1W-: Élément A: radial callebotis N-W, W-N, N-Z et W-Z; PS operator: w* setgray

RF980-5, Fig. A2W-: Élément B: 5 équidistants L*gris étapes + N_0 + W_I ; PS operator: w* setgray

RF980-7, Fig. A3W-: Élément C: 16 équidistants L*gris étapes; PS operator: w* setgray

graphique RF98; ME16(ISO 9241-306), 3(ISO/IEC 15775)
achromatic graphique de test N



v

L

o

Y

M

C

c

M

Y

O

L

V

C

c

M

Y

O

L

V

C

c

M

Y

O

L

V

l'arriÈre-plan Øtape
code hex

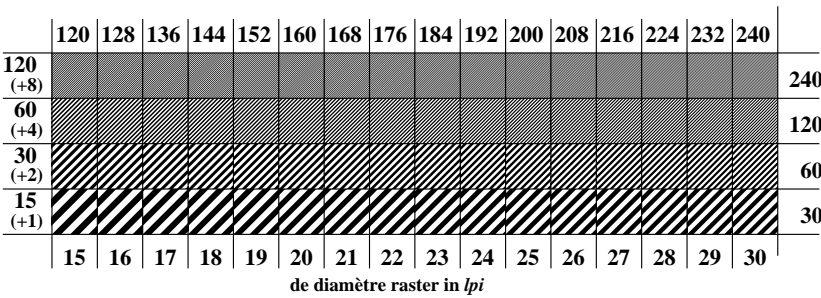
7	00000000
E	00000000
2	00000000
8	00000000
F	00000000

1 l'anneau Øtapes 0-1
code hex
8 7-8
F E-F
0 2-0
6 8-6
D F-D

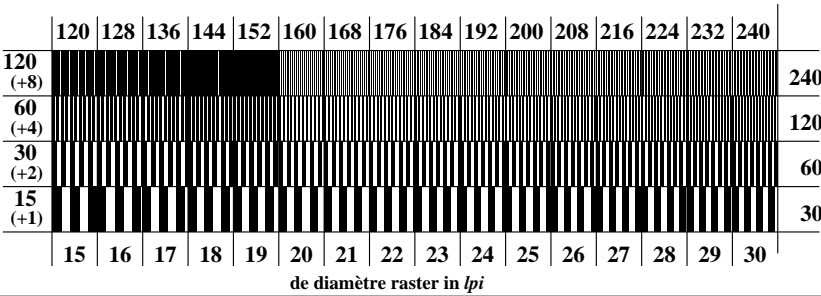
anneaux Landolt W-N

code: l'arriÈre-plan-l'anneau Øtape

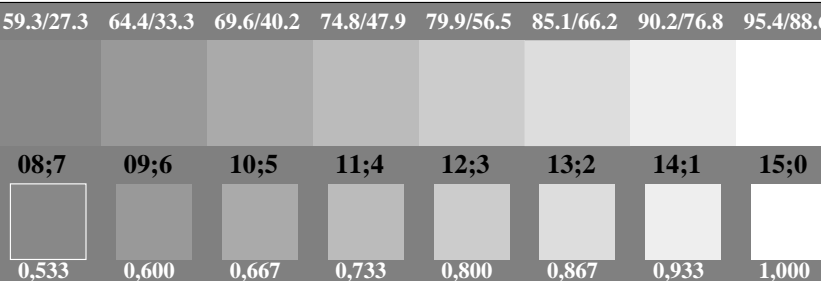
RF981-1, Fig. A4W-: Élément D: anneaux Landolt W-N; PS operator: w* setgray



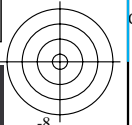
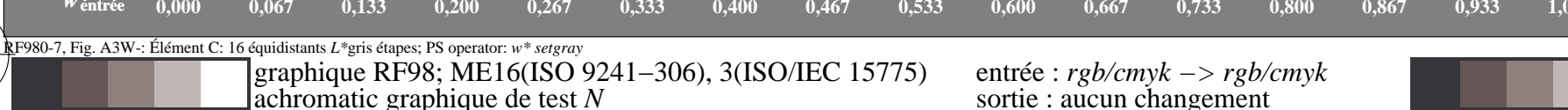
RF981-3, Fig. A5W-: Élément E: Linge raster sous 45° (ou 135°) degré; PS operator: w* setgray



RF981-5, Fig. A6W-: Élément F: Linge raster sous 90° (ou 0°) degré; PS operator: w* setgray



entrée : rgb/cmyk -> rgb/cmyk
sortie : aucun changement

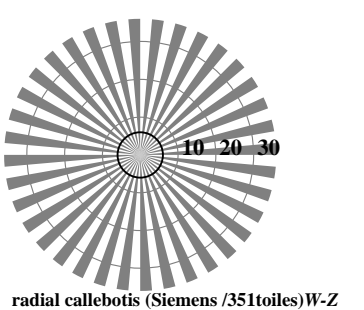
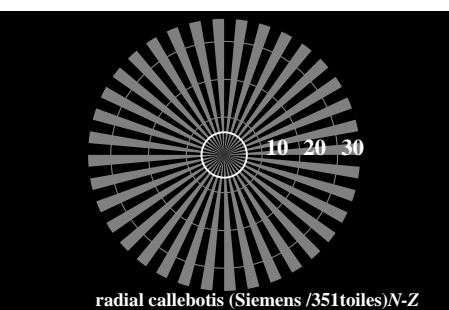
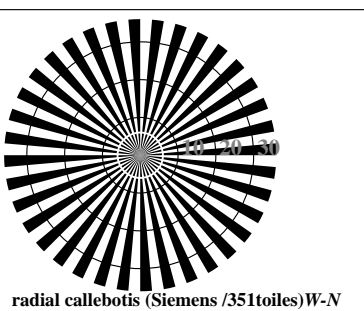
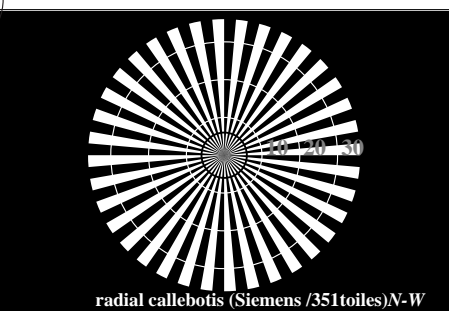


v http://130.149.60.45/~farbmefrik/RF98/RF98L0NP.PDF /PS; sortie de transfert
 N: aucune linearisation 3D (OL) dans fichier (F) ou PS-startup (S), page 2/2
 voir fichiers similaires: http://130.149.60.45/~farbmefrik/RF98/RF98.HTM
 informations techniques: http://www.psbam.de ou http://130.149.60.45/~farbmefrik

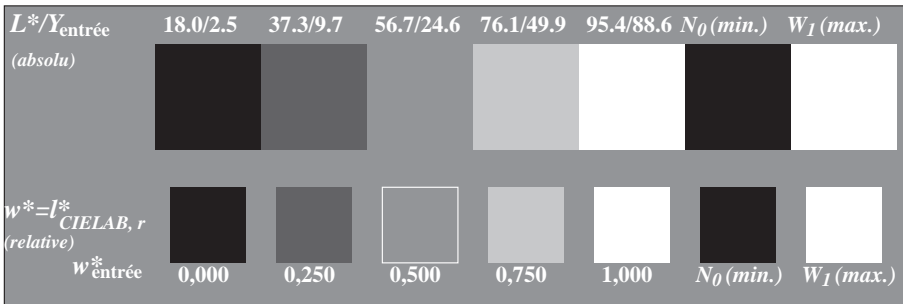


v
 L
 O
 Y
 M
 C
 C
 M
 Y
 O
 L
 V
 V
 6
 8
 0
 1
 3
 1
 3
 0
 F0
 C
 M
 Y
 O
 L
 V
 -6
 -8

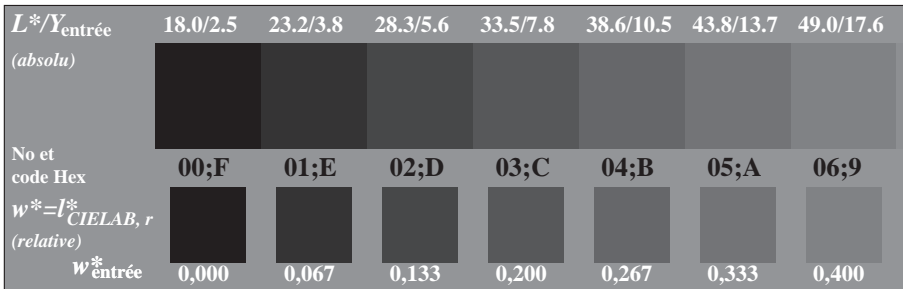
http://130.149.60.45/~farbmefrik/RF98/RF98L0NP.PDF /PS; sortie de transfert
 N: aucune linearisation 3D (OL) dans fichier (F) ou PS-startup (S), page 2/2



RF980-3, Fig. A1We: Élément A: radial callebotis N-W, W-N, N-Z et W-Z; PS operator: $w^* setgray$

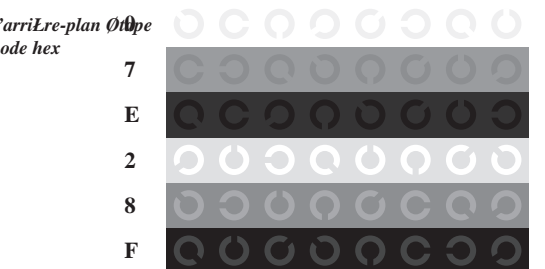


RF980-5, Fig. A2We: Élément B: 5 équidistants L^* gris étapes + N_θ + W_I ; PS operator: $w^* setgray$

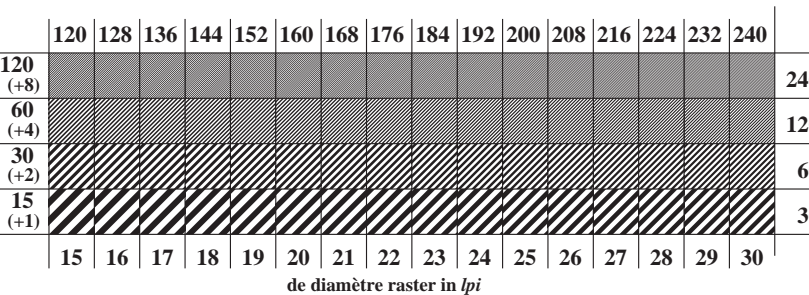


RF980-7, Fig. A3We: Élément C: 16 équidistants L^* gris étapes; PS operator: $w^* setgray$

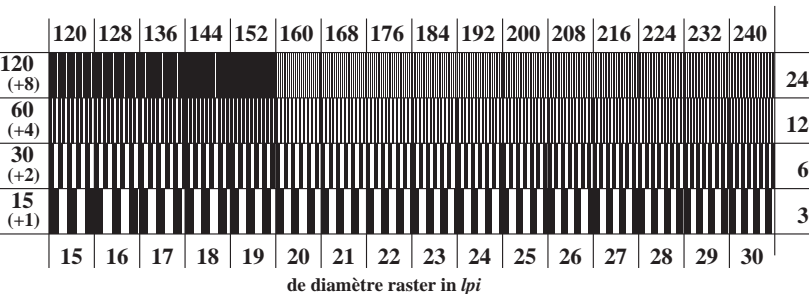
graphique RF98; ME16(ISO 9241-306), 3(ISO/IEC 15775)
 achromatic graphique de test N, 3D=0, de=1, cmyk



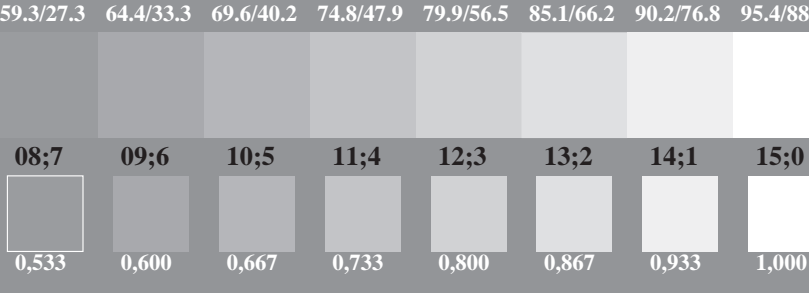
RF981-1, Fig. A4We: Élément D: anneaux Landolt W-N; PS operator: $w^* setgray$



RF981-3, Fig. A5We: Élément E: Linge raster sous 45° (ou 135°) degré; PS operator: $w^* setgray$



RF981-5, Fig. A6We: Élément F: Linge raster sous 90° (ou 0°) degré; PS operator: $w^* setgray$



entrée : $rgb/cmky \rightarrow rgbe$
 sortie : transférer à $cmyke$